

## Спектры поглощения атмосферных парниковых газов ( $\text{CH}_4$ , $\text{N}_2\text{O}$ , $\text{CO}$ )

М. А. Одишария,

Н. Г. Чиабришвили, Т. М. Каландадзе, Д.Д. Кирkitадзе

Изложены экспериментальные результаты по исследованию спектров поглощения атмосферных парниковых газов при прохождении солнечной радиации в толще атмосферы.

Установлены интервалы частот ( $\Delta\nu$ ) солнечного инфракрасного излучения, в которых находятся спектры поглощения изучаемых газов.

Земная атмосфера влияет на спектральный состав проходящей через неё солнечной радиации. Во многих участках оптического диапазона от 0,01 до 1000 мкм атомами и молекулами, кроме рассеяния, имеют место поглощение, излучение и переизлучение. В этих процессах существенную роль играют так называемые парниковые газы – диоксид углерода ( $\text{CO}_2$ ), метан ( $\text{CH}_4$ ), окислы азота ( $\text{NO}_x$ ), моноксид углерода ( $\text{CO}$ ) и хлорфтогидрофторуглероды –  $\text{CFCl}_3$ ,  $\text{CF}_2\text{Cl}_2$ . Парниковые газы беспрепятственно пропускают видимое излучение солнечного спектра, но задерживают как отраженное от поверхности Земли, а также излучаемое Землей длинноволновое – инфракрасное излучение. Увеличение концентрации парниковых газов в атмосфере способствует усилению так называемого парникового эффекта и, таким образом, повышению средней температуры на Земле.

Парниковые газы образуются на Земле в результате горения любого топлива (природного газа, нефтепродуктов, угля и т.д.), а также в засушливые сезоны (особенно в Южном полушарии), когда случается большинство естественных пожаров и наиболее интенсивно ведется сжигание биомассы человеком [1]. В результате происходит эмиссия парниковых газов в атмосферу и увеличение их концентрации.

Значения эмиссии парниковых газов от нашей планеты в атмосферу в 1990 и 1995 годах для таких газов как – диоксид углерода ( $\text{CO}_2$ ), метан ( $\text{CH}_4$ ), углерод (C), окислы азота ( $\text{NO}_x$ ), и галогены (F, Cl, ...) даются в Таблице 1 [2].

Таблица 1

Выбросы парниковых газов, миллион тонн						
Год	Общая эмиссия	Диоксид Углерода ( $\text{CO}_2$ )	Метан ( $\text{CH}_4$ )	Остаточный Углерод (C)	Оксиды Азота ( $\text{NO}_x$ )	Галогены (F, Cl, ...)
1990	1583	1353	170	125	36	24
1995	1676	1422	177	117	40	37

Особенно интерес к атмосферным парниковым газам возрос после того, как было замечено изменение климата планеты, в частности, – увеличение её температуры. По данным конференции, посвященной эмиссии парниковых газов в атмосферу и проведенной под эгидой ООН, в декабре 1997 г в Киото (Япония), с 1960 г средняя температура на Земле поднялась на 0,6–0,7°C. Научные оценки, связанные с потеплением климата, подтверждают, что средняя температура на Земле может к 2010 г. повыситься на 1,3 °C. В результате это может вызвать повышение уровня Мирового океана на 0,3 – 1 м и затопление значительных прибрежных территорий [2]. Исходя из

этого, понятен тот научный интерес, который связан с вопросами исследования как спектрального, так и количественного характера атмосферных парниковых газов.

В научной литературе опубликовано достаточное количество работ, посвященных изучению парниковых газов оптическими методами как методического, так и экспериментального характера [3–8]. Исследования в этом направлении осуществляются как наземными способами измерений, а также на воздушных шаров-зондов и искусственных спутников земли. При анализе полученных данных внимание уделяется происходящим в атмосфере фото-химическим реакциям между газами, и влиянию на эти реакции динамики атмосферы и метеоусловий.

На рис. 1 для газов  $\text{CO}_2$ ,  $\text{CH}_4$ ,  $\text{N}_2\text{O}$ ,  $\text{CO}$ , и  $\text{O}_3$  стрелками указаны те длины волн, которые соответствуют средним значениям  $\Delta\lambda$ -интервалов спектров поглощения солнечного инфракрасного излучения в атмосфере:  $\lambda_1 = 2,1 \mu\text{мкм}$  ( $\text{CO}_2$ );  $\lambda_2 = 3,5 \mu\text{мкм}$  ( $\text{CH}_4$ );  $\lambda_3 = 3,9 \mu\text{мкм}$  ( $\text{N}_2\text{O}$ );  $\lambda_4 = 4,6 \mu\text{мкм}$  ( $\text{CO}$ );  $\lambda_5 = 9,6 \mu\text{мкм}$  ( $\text{O}_3$ ) [7]. Следует отметить, что на фоне спектра поглощения атмосферного водяного пара ( $\text{H}_2\text{O}$ )  $\Delta\lambda$ -интервалы – “окна”, позволяющие экспериментально регистрировать спектры поглощения атмосферных парниковых газов.

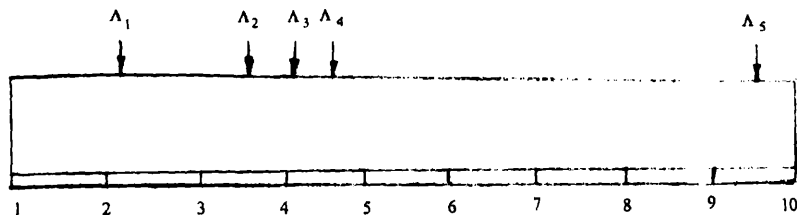


Рис. 1. Длина волны,  $\lambda$ , мкм.

Что касается методики выполненной работы, нами была разработана и практически реализована экспериментальная установка для исследования спектральной прозрачности атмосферы, в которой источником света является Солнце (интервал исследуемого спектра  $4200 - 400 \text{ см}^{-1}$ ). Установка смонтирована в г. Тбилиси на экспериментальной базе Института геофизики и подробно описана в [9]. Заметим лишь, что для регистрации качественных спектров поглощения необходимо, чтобы в процессе измерений атмосфера была прозрачной и турбулентность её минимальной.

На рис. 2–4 приведены спектры поглощения инфракрасного излучения солнца парниковых газов: метана ( $\text{CH}_4$ ), окиси азота ( $\text{N}_2\text{O}$ ) и углекислого газа ( $\text{CO}$ ). Спектры полосатые и полосы четко выделены друг от друга. Стрелками показаны максимумы поглощения отдельных полос; t – время начала измерений; T – температура воздуха; p – атмосферное давление; f – относительная влажность воздуха.

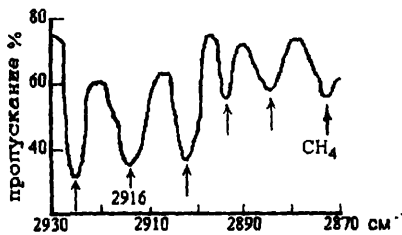


Рис. 2. Спектр поглощения метана ( $\text{CH}_4$ )  
 $t = 13 \text{ ч. } 32$ ,  $T = 19^\circ\text{C}$ ,  $p = 968 \text{ мбар}$ ,  $a = 58\%$ .

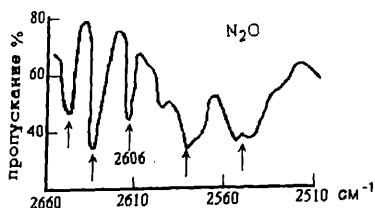


Рис. 3. Спектр поглощения оксида азота ( $N_2O$ )  
 $t = 13$  ч. 55 мин.  $T = 19$   $^{\circ}C.$ ,  $p = 968$  мбар.,  $f = 58\%$ .

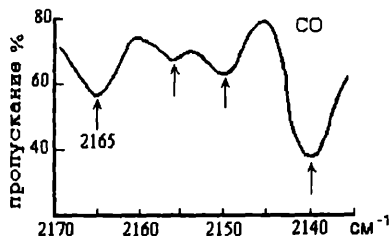


Рис.4. Спектр поглощения углекислого газа (CO)  
 $t = 13$  ч. 10 мин.  $T = 19$   $^{\circ}C.$ ,  $p = 968$  мбар.,  $f = 58\%$ .

Спектры, приведенные на рис. 2–4, позволяют установить для атмосферных парниковых газов ( $CH_4$ ,  $N_2O$  и CO) интервалы частот ( $\Delta\nu$ ) поглощения солнечного инфракрасного излучения, а также величины частот ( $\nu_{max}$ ), соответствующих максимумам отдельных полос поглощения. Эти результаты приведены в таблице № 2.

Таблица 2

№	Парниковый газ	Интервал частот, в котором находится спектр поглощения, $\Delta\nu, \text{см}^{-1}$	Частота соответствующий максимуму поглощения $\nu_{max}, \text{см}^{-1}$
1	$CH_4$	2930-2870	2925 2916 2902 2893 2884 2873
2	$N_2O$	2660-2510	2645 2635 2606 2582 2547
3	CO	2170-2140	2165 2155 2150 2140

При изучении атмосферных парниковых газов оптическим методом определённую роль играет географическое положение (например, Тбилиси – Санкт-Петербург) местности, где ведутся измерения. Независимо от наличия этого фактора, полученные нами экспериментальные результаты хорошо согласуются с данными [7], соответствующими более высоким географическим широтам.

Следует отметить, что выполненная работа является первой попыткой регистрации спектров поглощения парниковых газов в Институте геофизики им. М. Нодия АН Грузии.

### Л И Т Е Р А Т У Р А

1. Реджинальд Э. Ньюэлл, Генри Дж. Рейль, Вольфганг Зайлер. – Моноксид углерода в атмосфере: Неожиданные источники. В Мире науки, "Мир", М., № 12, 1989.
2. CSE Down To Earth Feature Service. 17. IV.1998.
3. Goldberg L. – The abundance and vertical distribution of methan in the Earth's atmosphere. *Astophys. J.*, vol. 113, № 3, 1951/
4. Shaw J.H. – The abundance of atmospheric carbon monoxide abav Columbia, Ohio. *A strophys. J.*, vol. 28, № 2, 1958.
5. Goody R. – Time vaziations in atmospheric N<sub>2</sub>O in Eastern Massachusetts. *Planetary and Space Scince.*, vol. 17, № 6, 1996.
6. Данилов-Клоков В.Н. – Спектроскопические исследования фонового со-держания газовых примесей в атмосфере. – Вестник АНССР, № 4, 1980.
7. Шашков А.А. – Интегральные спектроскопические методики определения CO<sub>2</sub>, CO, CH<sub>4</sub>, N<sub>2</sub>O: Порядок проведения измерений и алгоритм обработки. – Вопросы инфракрасной спектроскопии атмосферы. Вып. 496, Л., 1985.
8. Браунштейн А.М., Демидов В.В., Сакин И.А. – Стандартная экспериментальная установка для исследования спектральной прозрачности атмосферы в инфракрасной области спектра. Труды ГГО, вып. 279, 1972.
9. Odisharia M., Chiabishvili N., Kirkadze D. – Stationary Experimental Installation for the Spectral Transparency of the Atmosphere. Bulletin of the Georgian Academy of Sciences, vol.161, № 3 2000.

### ატმოსფერული სათბური გაზების (CH<sub>4</sub>, N<sub>2</sub>O, CO) შთანთქმის სპექტრული

[ გ. ოდიშარაძე, 6. ჭიაბიშვილი, თ. კალანდაძე, დ. კირქიზაძე.]

#### რეზიუმე

მოყვანილია ატმოსფეროში არსებული სათბური გაზების შთანთქმის სპექტრული ექსპერიმენტული მონაცემები, მზის რაღიაციის ატმოსფეროს ვერტიკალურ სეეტში გავლისას.

დადგენილია მზის ინტრაწითელი გამოსხივების სიხშირეთა ( $\Delta\gamma$ ) ინტერგალები, რომლებიც შეესაბამება შესასწავლი გაზების შთანთქმის სპექტრებს.

# **Absorption spectrums of the atmospheric green-house gases (CH<sub>4</sub>, N<sub>2</sub>O, CO)**

**M. Odisharia,**

**N. Chiabrisvili, T. Kalandadze, D. Kirkitadze**

## **Abstract**

The experimental results on a research of absorption spectrums of the atmospheric green-house gases during penetration of solar radiation through the thickness of an atmosphere are given an account.

The intervals of frequencies ( $\Delta\gamma$ ) of a solar infrared radiation are established here; the absorption spectrums of investigated gases are represented in these intervals.